

目 录

| | | |
|---------------------------|-------|-----|
| 緒言 | | 1 |
| 第一章 脉冲电动势作用在电路上的情况 | | 3 |
| 1. <i>RC</i> 电路 | | 3 |
| 2. <i>RL</i> 电路 | | 10 |
| 3. <i>LC</i> 电路 | | 12 |
| 4. 傳輸綫 | | 17 |
| 第二章 限幅器 | | 30 |
| 5. 二極管限幅 | | 32 |
| 6. 板—柵限幅 | | 40 |
| 7. 箔位器 | | 46 |
| 第三章 矩形脉冲的获得 | | 47 |
| 8. 触發器 | | 47 |
| 9. 多諧振盪器 | | 59 |
| 10. 間歇振盪器 | | 73 |
| 11. 具有形成綫的脉冲發生器 | | 81 |
| 12. 振盪器的同步和脉冲重复频率的分頻 | | 86 |
| 第四章 鋸齒形电压和电流的获得 | | 92 |
| 13. 获得鋸齒形(直線性变化的)电压的原理 | | 92 |
| 14. 电压直線性变化的振盪器 | | 98 |
| 15. 鋸齒形电流振盪器 | | 113 |
| 第五章 比較振幅 | | 120 |
| 第六章 脉冲的可变延迟 | | 125 |
| 第七章 脉冲的調制和反調制 | | 130 |
| 16. 脉冲的振幅調制和反調制 | | 132 |
| 脉冲持續时间的調制和反調制 | | 134 |

| | | |
|------------|--------------------------|------------|
| 18. | 脉冲的相位調制和反調制..... | 135 |
| 第八章 | 脉冲選擇 | 140 |
| 19. | 脉冲振幅選擇..... | 140 |
| 20. | 脉冲持續時間的选择..... | 143 |
| 21. | 重合脉冲的选择..... | 149 |
| 第九章 | 脉冲的測量 | 151 |
| 22. | 測量脉冲的振幅..... | 152 |
| 23. | 測量脉冲的持續時間和它的一部分持續時間..... | 154 |
| 24. | 測量脉冲的頻率..... | 157 |
| 25. | 計算脉冲的設備..... | 158 |

緒 言

無線電技术的蓬勃發展、脉冲研究方法的研究和在生产中广泛采用自动化，使脉冲技术成为一个独立的知識部門。

現在已經很难举出哪一个技术領域中是不用脉冲方法的。在現代電視、多路無線电通信、雷达和無線电导航中，脉冲方法起着重要的作用。科学家利用脉冲研究方法来洞察物質的秘密。以脉冲过程为动作基础的数字計算机可以在一秒鐘內进行几万次計算。

按脉冲技术原理工作的仪器有时是很复杂的，不过每种仪器中都有基本的脉冲裝置，借此产生或形成电脉冲，实现脉冲的調制、脉冲在时间上的延迟和脉冲的选择等等。本書就研究这些基本的脉冲裝置。

書中只提供为了解这些裝置的工作原理和实际調整它們所必需的知識。材料的叙述順序是由最簡單的到較复杂的。把这些裝置作复杂而巧妙的組合，就可以解决各种有趣的問題。本書的最終目的，是通过对这些基本脉冲裝置的研究，使讀者能按照自己的需要进行設計，并用这些基本的脉冲裝置裝成复杂的無線电裝置，就像用磚来盖房屋一样。在研究脉冲电路之前应当确定一下我們將研究些什么样的脉冲。

电脉冲就是在短促的时间間隔內作用的电压或电流（圖1，a）。脉冲有各式各样的形狀：三角形的、矩形的、梯形和其它形狀的。过渡过程在脉冲电路中起着很大的作用。例如，在由电阻和电容器串联組成的电路中輸入某一电压，那末电容器上的电压不能立即达到輸入电压那样高的电平，而要經過一定的时间。电容器上电压的逐渐增長过程就是过渡过程。这样

渡过程和稳定过程（电容器上的电压保持恒定）有着本質上的区别。在有电感的电路中也产生同样的現象。由于在实际电路中都有电容和电感，所以当电压或电流变化时，电路中就产生过渡过程。

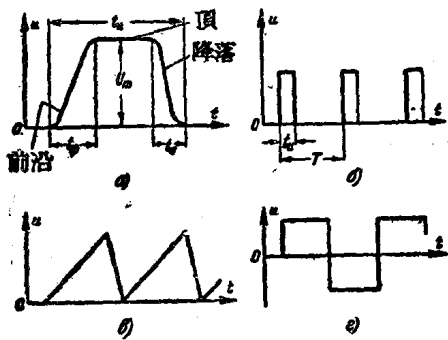


圖 1 脉冲和周期性电压的形狀

a—脉冲，b—矩形脉冲串，c—锯齿形电压，d—矩形电压

脉冲技术是研究持续时间可以和由它引起的过渡过程持续时间相比较的脉冲。脉冲间的间隔持续时间应当比脉冲的持续时间大很多，使在下一个脉冲来到之前，电路中由前一个脉冲所引起的过渡过程已經結束。

比值 $\frac{T}{t_u}$ (見圖 1,6) 叫做脉冲間隔度，以字母 Q 表示。

在脉冲装置中不仅采用脉冲 (圖1,6)，同时也采用锯齿形的、矩形的和其它形状的周期性电压 (圖1,6 和 1)，这是因为無論是为了輔助目的 (例如形成或控制脉冲)，無論是为了特殊目的 (脉冲测量，电视中形成图形等等)，都必須采用这些

第一章 脉冲电动势作用在电路上的情况

1. RC 电路

在介紹脉冲通过 RC 电路之前，首先研究一下电路与直流电压源 U 接通时，其中电流和电压的变化情况（圖 2, a）。

假設在初始状态电池与电路断开（轉換开关 Π 在位置 1），电容器 C 放完电，也就是說电容器上的电压 u_C 等于零。这时电阻 R 上的电压 u_R 也同样等于零。

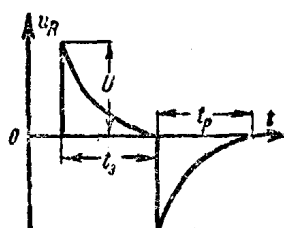
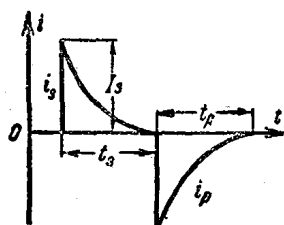
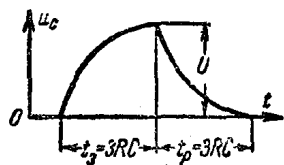
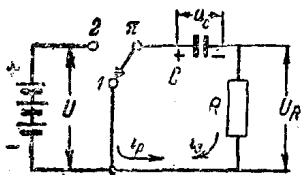
当电池与电路接通时（轉換开关 Π 在位置 2）便开始了电容器 C 的充电过程。但是充电过程不可能在瞬間內完成，因为当电容器充电以后，在其極板間就有了电位差，也就是說有了具有能量的电場。因此，如果电容器的充电是在电池与电路接通的瞬間に完成的，那么电容器極板間的电場也應該在瞬間に建立。这又意味着原来等于零的电场能量在瞬間に增大到某值。然而为此，充电电流源就應該具有無限大的能量。在實際情况下这是不可能的，所以电容器的充电（放电也一样）是在某一有限時間間隔內进行的，这个時間間隔可能是很小的。

通过电容器的电流是可以在瞬間に变化的（躍变），因为这时电場能量并不改变。

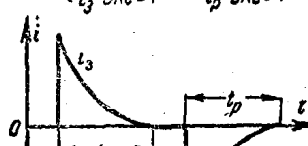
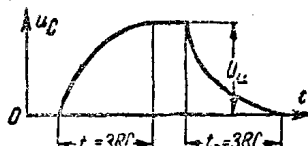
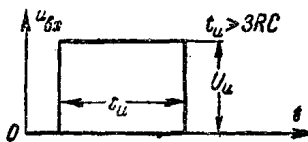
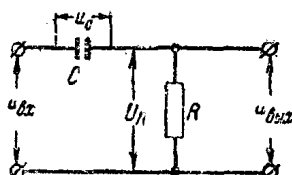
再来看我們原来的例子。接通电池后电容器开始以电流 i_3 逐渐充电。由于电容器 C 事先已放电，所以充电电流等于：

$$i_3 = \frac{U - u_C}{R}.$$

在接通电池后的最初瞬間，电容器上的电压 u_C 等于零，因此电容器充电电流 i_3 的大小由电阻 R 的大小决定，在电阻



a)



b)

圖 2 RC 电路中的过渡过程

a—在接通和切断直流电源时;

b—在持续时间大于电路时间常数 τ 的脉冲作用下。

R 上产生等于电池电动势的电压躍变:

$$u_R = i_3 R = \frac{U}{R} R = U.$$

电容器上的电压 u_C 力趋增大到电池电压 U 。这时电阻 R 上的电压 $u_R = i_3 R = U - u_C$ 趋向零 (圖 2, a)。电压 u_C 的增長速度和电压 u_R 的下降速度由电阻和电容的乘积 RC 决定, RC 叫做电路的時間常数, 以字母 τ 表示。 τ 越大, 电压 u_C 的增長速度和电压 u_R 的下降速度就越小。充电电流的下降特性可用数学公式表示

$$i_3 = \frac{U}{R} e^{-\frac{t}{RC}}, \quad \text{①}$$

式中 $e=2.72\dots$ —为自然对数的底; t —从电容器开始充电起所經過的时间。

电容器上电压 u_C 的增長特性和电阻上电压 u_R 的下降特性可用公式表示

$$u_R = i_3 R = \frac{U}{R} R e^{-\frac{t}{RC}} = U e^{-\frac{t}{RC}},$$

$$u_C = U - u_R = U - U e^{-\frac{t}{RC}} = U \left(1 - e^{-\frac{t}{RC}} \right).$$

从这些公式中可以看出, 只有經過無限長的時間以后, 就是当 $t=\infty$ 时, 电压 u_C 才能上升为 U , i_3 和 u_R 才能下降到零。但是实际上当电容器上的电压达到 0.95 电源电压时就認為电容器的充电已告結束, 也就是經過三个時間常数以后 ($t=3RC=3\tau$ 秒) 就告結束。

① 式 $e^{-\frac{t}{RC}}$ 是 $y=e^x$ 形式的指数(幕)函数, 式中 $x=-\frac{t}{RC}$ 是自变量。

• • •

当过渡过程结束后（电容器 C 充电到 $0.95U$ ），将转换开关 H 移至位置 1。这时电容器 C 通过电阻 R 接通，在电路中便出现电容器放电电流 i_p 。由于现在电容器 C 的正极板接电阻 R 的下端，所以放电电流 i_p 的方向与充电电流 i_s 的方向相反。这样电阻上电压 u_R 的新的跃变具有负的极性（图 2, a）。有关电容器充电所讲的一切在电容器放电时也适用：电压 u_C 按电路时间常数作指数式下降；放电电流 i_p 和电阻 R 上的电压 u_R 的下降也相同，只是它们的极性与充电时相反。经过 $3RC$ 秒以后电容器实际上已放电完毕。

如果加在电路输入端的不是电池的直流电压，而是持续时间大于过渡过程时间的矩形脉冲，也会出现同样的情况（图 2, b）。那时自脉冲前沿起电容器 C 开始充电，在电路输出端（在电阻 R 上）产生以时间常数 τ 按指数曲线下降的尖顶脉冲。这个脉冲的极性与输入矩形脉冲的极性一样。

输入矩形脉冲的降落（后沿）在电路输出端引起第二个尖顶脉冲，它的极性与输入脉冲极性相反。这样，输入一个矩形脉冲在 RC 电路的输出端却出现两个比较短的尖顶脉冲。它们之间的间隔等于输入矩形脉冲的持续时间 t_u 。

已分析过的 RC 电路的时间常数 τ 远小于输入脉冲的持续时间 t_u ($\tau \ll t_u$) 或 $3RC \ll t_u$ ，这种电路叫做微分电路。

让我们来研究一下，当 RC 电路的时间常数大于输入脉冲的持续时间时，就是 $\tau > t_u$ 时，电路输出端电压形状的变化。在这种情况下矩形脉冲比电容器充电的过渡过程结束得早。在矩形脉冲结束的瞬时，电容器上的电压等于 u'_C ， u'_C 小于脉冲电压 U_u 。那时输出端的电压（图 3, a）

$$u'_R = U_u - u'_C.$$

输入脉冲结束后，电容器上所充电压 u'_C 在电阻 R 上

引起等于 $-u'_C$ 的负的电压跃变，也就是说电阻上的电压由 u'_R 跃变到 $-u'_C$ ，或

$$u'_R - (-u'_C) = U_u.$$

此后电容器开始像通常一样放电。

如果增大 RC 电路的时间常数 τ ，那么电压 u'_R 将趋近于电压 U_u ，而 u'_C 将趋近于零。最后，当 τ 值很大时 ($\tau \gg t_u$)，矩形脉冲通过 RC 电路实际上不产生畸变 (图 3,6)。这种 RC 电路叫做过渡电路。

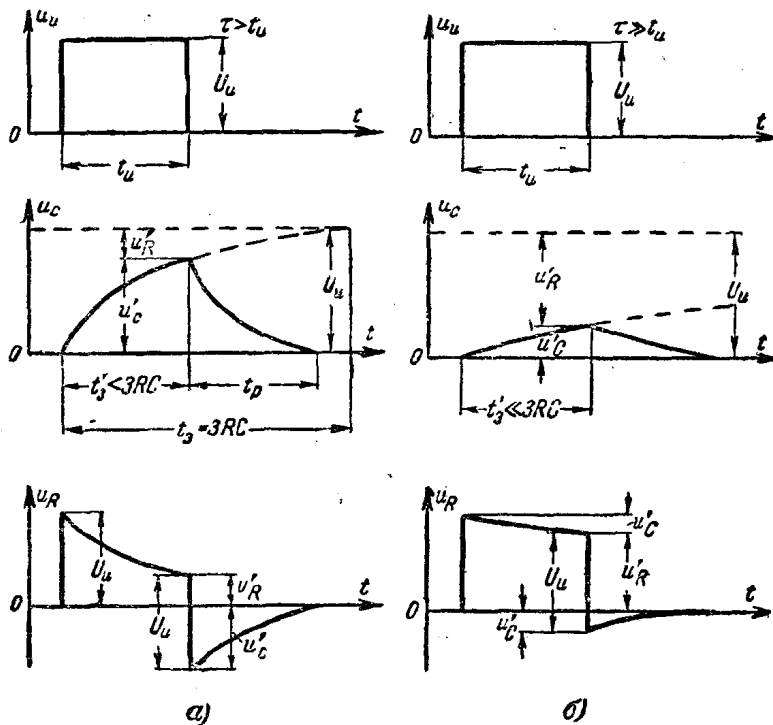


图 3 在矩形脉冲作用下， RC 电路的过渡过程
a) $\tau > t_u$; b) $\tau \gg t_u$

以上我們把矩形脉冲通过 RC 电路的过程理想化了，就是說假設脉冲具有严格的矩形（前沿时间和降落时间均等于零），也沒有考慮寄生电容的影响。实际上不可能得到增長時間和降落時間均为零的脉冲，而在任何实际線路中都有寄生电容存在。

首先研究一下当增長時間为 t_p 和降落時間为 t_c 的脉冲作

用于 RC 电路时輸出脉冲形狀的变化(圖 4)。

如果电路的时间常数大于輸入脉冲的前沿和降落持续時間，那么对脉冲的前沿和降落來說电路为过渡电路，它們不产生畸变(圖 4, 6)。如果电路的时间常数小于輸入脉冲的前沿和降落的持续時間，輸出脉冲的形狀就会显著地变化。在这种情况下电容器上的电压增長極快，并且很快就达到輸入脉冲前沿增長的速度，也就是电容器的充电电流成为恒定值。所以电阻 R 上电压降的数值在躍变后的若干時間內保持不变(圖 4, 6)，同时躍变振幅減小的倍数等于 τ 小于 t_p (或 t_c) 的倍数。

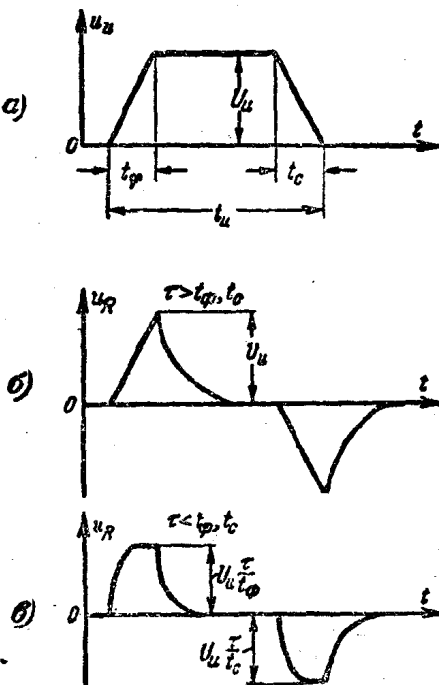


圖 4 在梯形脉冲作用下 RC 电路的过渡过程
a—輸入脉冲；b—当 $\tau > t_p$ 和 t_c 时的输出电
压；c—当 $\tau < t_p$ 和 t_c 时的输出电压。

變后的若干時間內保持不变(圖 4, 6)，同时躍变振幅減小的倍数等于 τ 小于 t_p (或 t_c) 的倍数。

讓我們研究一下寄生电容的影响。起作用最大的是 RC 电路下一級的輸入电容 C_n (圖 5, a)。在輸入脉冲前沿作用于電路輸入端的瞬时，电容器 C 和电容 C_n 是串联的，也就是說組成了电容分压器。电容器很快充电到与电容量成反比的电压值。在这种情况下可以忽略电阻 R 的影响并認為电路输出端的电压

$$u_{\text{busx}} = U_u \frac{C}{C + C_n}.$$

此后电容器 C 开始通过电阻 R 充电，电路輸出端的电压下降(圖 5, b 和 c)。可見寄生电容 C_n 使輸出脉冲的振幅减小。因此希望电容器的电容量 C 不小于 C_n 的 4 倍到 5 倍。但是电容值也不能取得过大，否则为了得到所需的时间常数 τ 就要减

小电阻 R 的数值，而 R 值的减小就会增加輸入脉冲源的負載 (电阻 R 是輸入脉冲源的 ~~負載~~ ~~内阻~~)。通常取电容器 C 的电容量不大于 100 微微法。

讓我們講一下輸入脉冲源的內阻 R_{in} 对 RC 电路輸出脉冲形狀的影响(圖 6, a)。在輸入脉冲出現的瞬時，电路中的电流①

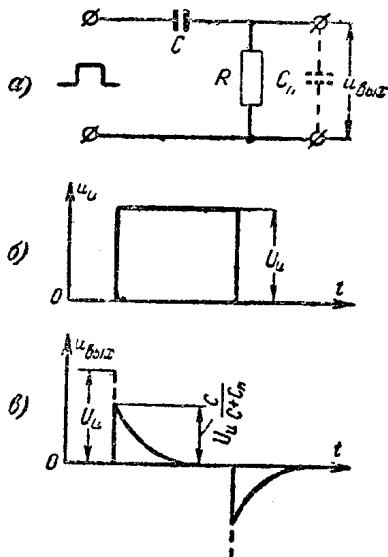


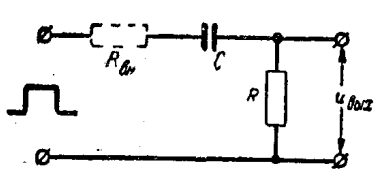
圖 5 寄生电容对 RC 电路过渡过程的影响
a—电路圖; b—輸入脉冲; c—輸出端电压的形狀

① 在脉冲前沿通过的瞬時 (电流跃变)，电容器上的电压不改变，仍旧是零。这样就能在推导电流公式时不考慮电容的存儲 (视当电容器的“电阻”等于零)。

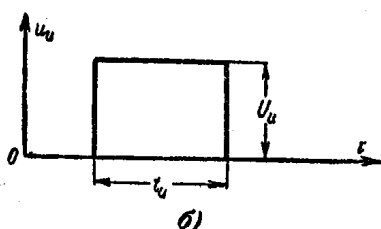
$$i_0 = \frac{U_u}{R + R_{\text{gen}}},$$

输出端的电压

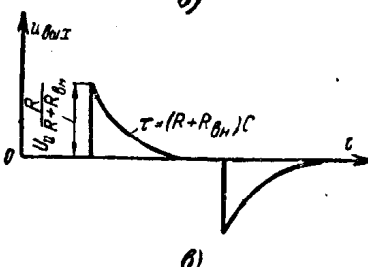
$$u_{\text{out}} = i_0 R = \frac{U_u}{R + R_{\text{gen}}} R = U_u \frac{R}{R + R_{\text{gen}}}.$$



a)



b)



c)

圖 6 輸入脈冲源的內阻和寄生電容對 RC 電路過渡過程的影響

a-接線圖; b-輸入脈冲; c-輸出端電壓的形狀

可見內阻 R_{gen} 使電路
輸出端電壓的躍變值減小
(圖 6, c)。

往後電容器 C 開始通過 $R + R_{\text{gen}}$ 電路充電，輸出端的電壓以時間常數 $\tau = (R + R_{\text{gen}})C$ 衰減。

上述一切在輸入脈冲結束的瞬時也同樣適用。

2. RL 电路

恒定或脈冲電壓作用於 RL 電路時的過渡過程和作用於 RC 電路時的過渡過程相似。

舉例說，如果在 RL 電路的輸入端加上持續時間為 t_u 的矩形脈冲(圖 7)，那末在加上前電感線圈 L 中的電流等於零，

不能躍變，因為電流的躍變意味著線圈磁場中所儲存的能量的躍變。因此，在躍變的最初瞬間，線圈中的電流仍為零，這就

是說電阻 R 上的電壓降也等於零，輸入脈衝電壓全部降在線圈 L 上。此後通過線圈的電流開始以時間常數 $\tau = \frac{L}{R}$ 的指數規律增長。

線圈上的電壓 $U_L = U_u e^{-\frac{t}{\tau}}$ 逐漸減小，而電阻 R 上的電壓降逐漸增大。經過 3τ 時間間隔後 u_L 實際上已下降到零，而電壓 u_R 增長到 U_u (圖 7,6)。

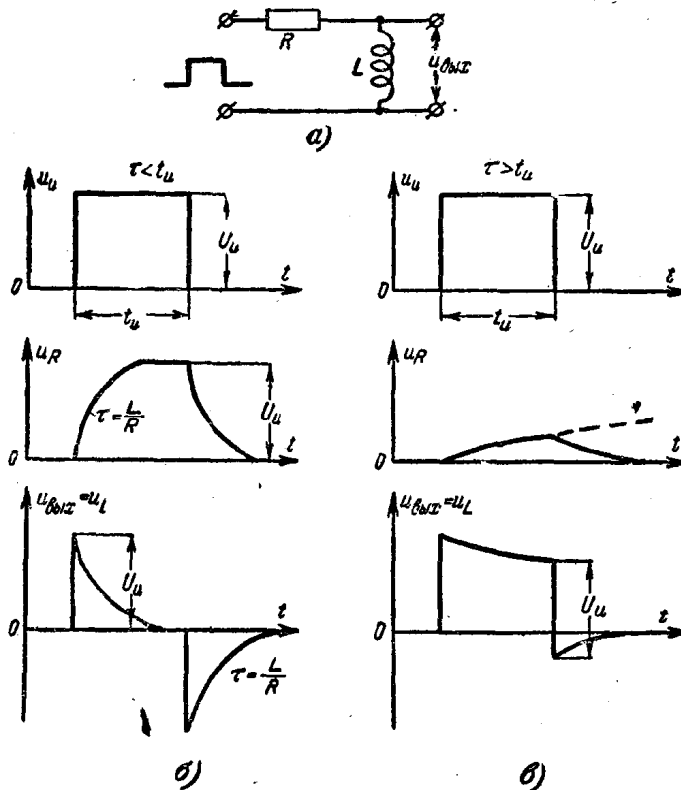


圖 7 RL 电路中的過渡過程
a—電路圖；b— $\tau < t_u$ (RL 微分電路) 時電壓的形狀；c— $\tau > t_u$ 時電壓的形狀。

在輸入脉冲有負的降躍時（輸入脉冲降落）開始相反的過程，這時電壓 u_R 按指數律減小到零，而 RL 電路輸出端的電壓 u_L 跳變到 $-U_u$ ，然後又按指數律趨近於零。

如果時間常數 τ 显著大於輸入脈冲的持續時間，線圈上的電壓就沒有很大的畸變（圖7,6）。

3. LC 电路

讓我們研究一下脈冲電動勢對於并聯振盪迴路的作用。

當轉換開關 Π 在位置 1 時（圖8,a），電感線圈 L 中有電流流過，電流的大小由關係式

$$i_0 = -\frac{U}{R_{\text{out}}}$$

決定，因為線圈的電阻通常比電池的內阻 R_{out} 小很多。在這種情況下，振盪迴路兩端的電位差等於零。

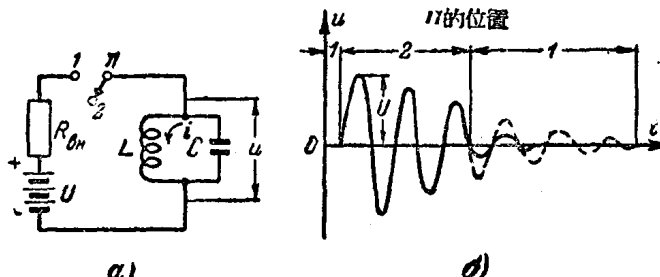


圖 8 電壓作用在并聯振盪迴路上

a—電池接線圖；b—轉換開關在不同位置時迴路中的電壓形狀

如果現在將電池與 LC 回路斷開（開關 Π 在位置 2），那麼在電感線圈 L 中儲存的磁能不會瞬時消失，而是逐漸轉化為電容器中的電場能量，而電場能量經過若干時間後又轉化為線圈中的磁場能量，如此反復循環。換句話說，直流電源切斷後

电感线圈中的电流给电容器充电，此后电容器又开始通过电感放电，如此反复循环，就是说，在回路中产生了振荡过程，振荡频率近似等于：

$$f_0 = \frac{1}{2\pi\sqrt{LC}}.$$

刚刚切断电池后振荡的振幅可由线圈的磁场能量 $W_m = \frac{Li_0^2}{2}$ 和电容器的电场能量 $W_e = \frac{CU^2}{2}$ 相等的条件求出：

$$\frac{CU^2}{2} = \frac{Li_0^2}{2},$$

由此

$$U = i_0 \sqrt{\frac{L}{C}}.$$

由于在实际振荡回路中总是有电阻的，回路中的部分能量将消耗在电阻中，因而振荡过程是逐渐衰减的（图8,6）。衰减速度和回路的质量因数 Q 有关。质量因数越小（回路通频带越宽），振荡的衰减就越快，反之， Q 值越大（通频带较窄），振荡振幅就可以在越长的时间内保持没有显著的下降。

如果经过若干时间以后，不等到振荡过程自然地衰减完毕又把电池重新接到振荡回路上去，那么由于电池内阻 R_{en} 与回路并联，振荡就立即停止。

实际上在回路中激起振荡是用电子管电路来给回路接通电源的（图9,a）。用这种方法而受到激励的回路叫做冲击激励回路，这种回路有很大的实际应用。

用这种线路可以得到形状类似用电容微分电路（RC电路）时得到的尖顶脉冲。在这种情况下回路应具有使过渡过程时间（建立时间）最小的临界衰减。

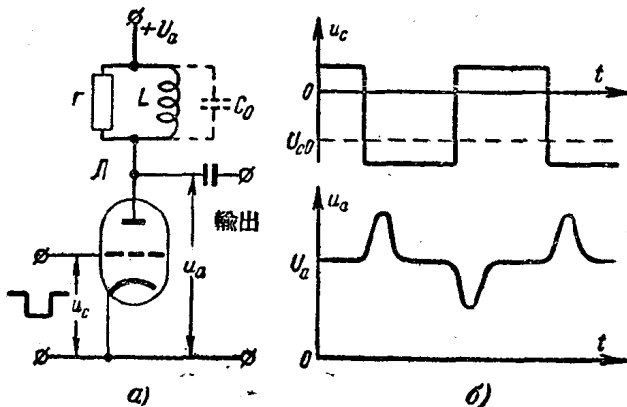


圖 9 利用冲击激励迴路得到尖頂脉冲
a-原理圖; b-電路輸入端和輸出端的電壓形狀

迴路中的电压振幅可用下式計算：

$$U_{max} = 0.37i_{ao} \sqrt{\frac{L}{C_0}},$$

式中 i_{ao} —柵極電壓為零時流過電子管的電流。

電子管柵極和板極電壓的形狀如圖 9,b 所示。

工作狀態用電阻 r (圖 9,a) 來選定。

這種迴路和 RC 電路比較，它的優點是可以得到比電源電壓大的脈沖振幅。這種脈沖用來觸發各種裝置是很方便的。

通常用屏幕上刻有“時間標度”的電子射線示波器來測量小的時間間隔。這可以借助能產生重複頻率嚴格不變的尖頂脈沖的特殊裝置來實現，這些脈沖加在示波管的陰極或控制極上，結果在示波管的屏幕上便出現光標記或暗標記——時間標度。

圖 10 是產生這種標度脈沖裝置的一種電路。這種電路採用衝擊激勵迴路。

電路工作情況如下：當圖中電子管 J_1 的左三極管的柵極

輸入負的矩形脈冲時，三極管截止。由於電流中斷，在 LC 迴路中產生微弱的衰減振盪，這些振盪在限幅級（見第二章）變為矩形脈冲後，在電子管 J_2 有三極管的板極迴路進行微分。

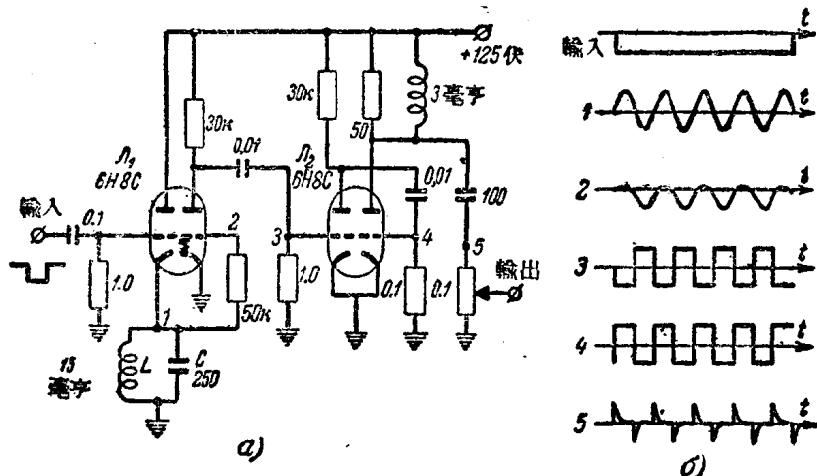


圖 10 具有衝擊激勵迴路的標度標記發生器
a-原理圖, b-電路不同點的電壓形狀

在裝置的輸出端將出現極性交替變化的尖頂脈冲，這些脈冲和 LC 衝擊激勵迴路中振盪的半週期相對應。將這些脈冲輸入示波器。屏幕上兩相瞬光標記或暗標記間的時間間隔等於衝擊激勵迴路振盪的周期。為了使這個時間間隔等於 1 微秒，迴路的頻率應等於：

$$f_0 = \frac{1}{10^{-6}} = 10^6 \text{ 赫} = 1 \text{ 兆赫}$$

當迴路的質量因數為 100 左右時，屏幕上大約出現 30 個標記。

圖 11 是用衝擊激勵迴路得到持續時間不變的矩形脈冲發生